〔72〕 ポリプロピレン溶融物の毛細管流動現象 第3報 分子量と分子量分布の影響

(1965年1月6日受理)

上出健二*·稲本義彦*·大野邦夫*

要 旨 溶融ポリプロピレンの毛細管流動現象に及ぼす分子量と分子量分布の影響を検討した。市販ポリプロピレン(M_v =2.39×10 $^\circ$, n-ヘプタン抽出残分 98.5%)を p-キシレン〜ポリエチレングリコール系で分別して得た分子量 M_v 範囲($1.0 \times 10^\circ$ $\sim 7.7 \times 10^\circ$) の 7 個の分別試料および分布の幅を調整した 5 個のブレンド試料を用いた。実験装置には高化式フローテスターを利用した。これまでに提案されているゼロずり応力粘度 n0 決定法のポリプロピレンへの適用性を検討した。ポリプロピレンでは $1/\log n_a = 1/\log n_o + a\tau$ (n_a : 見かけの粘度、 τ : ずり応力、a: 非ニュートン性のパラメーター)が成立する。分別試料ではこれより決定した n0 と n0 世の間に n1 しの n2 に n3 に n4 を n5 に n6 に n7 に n8 に n9 と n9 に n9 と n9 に n9 と n9 に n9 と n9 に n9 に n9 と n9 に n9 に n9 に n9 と n9 に n9 に

1. 緒 言

一般に高分子物質の物性は、平均分子量と分子量分布 の影響を受けて広い範囲にわたり変化する。熱可塑性高 分子物質の溶融物性もまた例外ではなく、それの物理的 意味を明らかにするためには、まず、分子量と分子量分 布の影響を明らかにしなければならない。現在までに溶 融物性と分子量との関係については、理論、実験ともか なり研究が行なわれてきており、分子論的解釈も可能と なっている。しかし、分布との関係について論じられた 例は多くない。著者らは本論文においてポリプロピレン を大量分別し、分子量と分子量分布を人為的に調整した 試料を用いてポリプロピレン溶融物の毛細管流動現象を 取り扱い、非ニュートン性、Barus 効果、臨界現象など に及ぼす分子量と分子量分布の影響を明らかにした。

2. 実験方法

2.1 試料の調整

市販ポリプロピレン(粘度平均分子量 M_v = 2.39×10^5 , n- \sim プタン抽出残分 98.5%) を原試料とし以下述べる方法で分別し調整した。

2.1.1 分 別

分別は分別沈殿法(沈殿剤添加法と温度降下法とを併用)を採用した。以下に分別操作法の詳細を述べる。

乾燥 N_2 ガス(流量 $2 l/\min$) で十分置換した三ツロナス型 30 l 容フラスコに原試料 170 g を入れ、これを p-キシレン (bp $137 \sim 139 °C$) 15 l で 120 °C で溶解した。分別時の解重合を防止するため、溶解キシレン 1 l あた

りイオノール (2,4-di-tert-butyl-p-cresol) 500 ppm を 同時に添加した。ポリマーを完溶させた後、あらかじめ 120℃ に加熱したポリエチレングリコール (分子量約 200) を沈殿剤として添加し、沈殿を生じせしめた。この 場合,液-液2層分離が完全に起こり,高分子濃厚層は透 明で上層側にあった。125℃ に昇温し、高分子濃厚層を 再溶解した後,徐々に 120℃ まで降温し,1時間 120℃ に保ち, 再び2液相分離せしめた。上層の高分子濃厚層 をサイホンで取り出し、これを第1区分とした。順次ほ ぼ同一操作をくり返し、第 15 区分まで分別した。ただ し分別温度は分別途中で 120℃ から 110℃ までに低下 させ沈殿剤の過大の使用を防いだ。各分別区分には、キ シレン 1l を加えて、130°C で溶解した。これを徐冷し (急冷すると ポリマーが 固くなり脱溶媒が 困難となる), 大量の メタノール中に投入して沈殿を 生成させ口過後, 50℃, 48~75 時間真空乾燥した。 このような 操作を 5 回くり返し,計 850g の原試料を分別した。分別効率は おのおの 98% 以上であった。

2.1.2 試料の調整

2.1.1 で得た各分別区分を混合して分布の幅と型を変化させ、粘度平均分子量をほぼ同一とした試料を作成した。すなわち、平均分子量 M_v を $(1.90\pm0.15)\times10^5$ として対称型分布で分布の幅が 狭いもの (SB-2), 広いもの (SB-3), 極端に 広いもの (SB-9) および 非対称型分布の試料として高分子量部分が多いもの $(SH-5)^{*1}$, 低分子量部分が多いもの $(SL-4)^{*1}$ を試算から調整した。 ポリプロピレン-デカリン系の Mark-Houwink 式の 指数

^{*} 旭化成工業株式会社繊維研究所(大阪府高槻市安満 118)

^{**} いいかえると,逆に SH-5 は超高分子量部分を除去した試料であり, SL-4 は極低分子量部分を除去した試料であるともいえる。

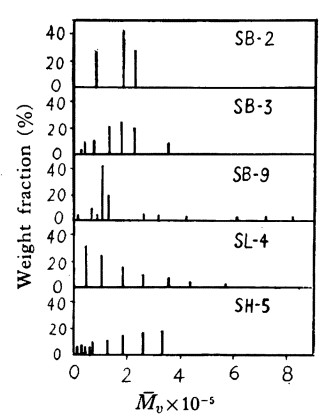


Fig. 1. The molecular weight distribution of blends.

a は 0.80 であるから",粘度平均分子量 M_v 는 重量平均分子量 M_w と近似することができる。 ゆえに各区分の分子量は全体の平均分子量に対し,重量的に寄与するとしてさしつかえない。ここではこの性質を利用して試算した。分布の型をヒストグラムで表わすと Fig. 1 のごとくなる。 試算で得た各区分の重量を精秤し, N_2 ガスふんい気中, 130° C でキシレンに溶解させ (抗酸化剤

500 ppm 添加) 2% 溶液とした。これをかきまぜを続けながら徐冷し常温となってから,ホモミキサー*2でゲル状物を粉砕し,大量の冷メタノール中で析出させ,これをさらにミキサーにかけて微粉末状とした。グラスフィルターでロ過後大量のメタノールで洗浄した。洗浄,粉砕の操作を数回くり返した。70℃ で数日真空乾燥し,溶媒をできるだけ除去した。一方,分子量分布のない均一試料として SS-6, SS-7, SS-8 もほぼ同様に調整した。各分別区分および試料の分子量はデカリン 135℃ 溶液における固有粘度から次式²2

$$[\eta] = 1.10 \times 10^{-4} \, \bar{M}_w^{0.80}$$

を用いて決定した。溶液粘度の測定には著者らが試作した改良ウベローデ粘度計を用いた 51 。 各試料の平均分子量およびそれを構成している各分別区分が均一試料であるとして算出した分子量分布の幅のパラメーター, M_u M_n を Table 1 に示す。分布の幅のパラメーター M_u M_n または M_z/M_w は真の平均分子量の比ではないが、だいたいそれに比例する値であるとみなすことができるから *3 , やはり分布のパラメーターである。真の値と区

Table 1. Average molecular weight and distribution parameter of the samples.

Sample	[ŋ]	$ar{M}_v\! imes\!10^{-5}*$	$ar{M}_n imes 10^{-5} **$	$ar{M}_w imes 10^{-5**}$	$\bar{M}_z \times 10^{-5**}$	$ig \{ar{M}_w/ar{M}_n\}^{***}$	$\{ar{M}_z/ar{M}_w\}^{***}$
SS-1	1.990	2.10	_	_		1.0	1.0
SB-2	1.699	1.72	1.261	1.583	1.800	1.26	1.14
SB-3	1.929	2.02	0.867	1.667	2.152	1.92	1.29
SL-4	1.735	1.77	0.708	1.672	2.163	2.36	1.29
SH-5	1.750	1.79	0.562	1.546	2.370	2.75	1.53
SS-6	0.862	1.07		_		1.0	1.0
SS-7	2.953	3.44			_	1.0	1.0
SS-8	5.435	7.37		_	_	1.0	1.0
SB-9	1.775	1.72	0.584	1.722	3.412	2.95	1.98
O-1+	2.012	2.13				_	_
BF-8	3.089	3.64		_		1.0	1.0
AF-1	5.60	7.65		_	_	1.0	1.0
DF-6	5.13	6.85	_			1.0	1.0

^{*} Calculated from $[\eta] = 1.10 \times 10^{-4} \bar{M}_n^{0.80}$.

** $ar{M}_n$, $ar{M}_w$ and $ar{M}_z$ have been calculated from the molecular weight distribution, appeared in Fig. 1, according to

$$ar{M}_n = rac{1}{\sum\limits_i rac{1}{M_i} f(M_i)}, \qquad ar{M}_w = \sum\limits_i M_i f(M_i), \qquad ar{M}_z = rac{\sum\limits_i M_i^2 f(M_i)}{\sum\limits_i M_i f(M_i)}$$

where, $f(M_i)$, the weight fraction of the sample which has the molecular weight M_i and polydispersity of the fractions has been neglected.

[†] Original sample.

^{**} ホモミキサー: T.K. Homo-Mixer, Type M 特殊機化工業株式会社製。

^{**} 分別区分のうち第1区分は利用していないから,一応分別効果の分子量依存性はないものと考えられる。

^{***} Parenthesis () has been added in order to distinguish from the true value.

別するために $\{\}$ をつけて表示した。Table 1 で M_v が M_w と必ずしも一致しないのは, 1) 分別区分の $[\eta]$ が一点で決定されたこと $(\eta_{sp}/c$ を 1 個の濃度で決定しHuggins の $k'\sim\eta_{sp}/c$ のあらかじめ与えられている関係のを用いて $[\eta]$ を決定した), 2) 分別区分より試料を調整するさいに熱崩壊が,ある程度はさけられないこと, 3) 分別沈殿法の分別効果には 理論的にも限度があることなどのためである。 分子量としては M_v の値が正しい。 $\{M_w/M_n\}$ を分布の幅のパラメーターとしてとるかぎり M_n , M_w に及ぼす誤差要因はあまり問題にはならないであろう。

2.2 流動特性の測定と解析

2.2.1 装置および測定法

一種のプランジャー式レオメーターである高化式フローテスター(島津製作所製)を利用した。ダイとしては径 $1 \text{ mm} \phi$, 長さ 10 mm のストレートダイを用い,測定温度は $250\pm0.5^{\circ}$ C とした。測定にさいしてできるだけポリマーの分解を防ぐよう留意した**。測定法の詳細は成書にゆずる $^{\circ}$ 。

2.2.2 データ解析法

=ュートン性流体が毛細管内を流れるとき,ダイ管壁 における見かけのずり応力 τ_{ap} ,ずり速度 D_N はおのお の次式で与えられる 50 。

$$\tau_{ap} = \frac{PR}{2L} \tag{1}$$

$$D_N = \frac{4Q}{\pi R^3} \tag{2}$$

ここで、P は圧損失、L はダイの長さ、R はダイの半径、Q は押出し速度である。非ニュートン性流体の場合には D_N は見かけのずり速度となる。 末端効果の補正をすると真のずり応力 τ は

$$\tau = \frac{PR}{2(L + \nu R)} \tag{3}$$

で与えられる 9 。 ν は 末端補正係数であり本報では、前報 9 でえられた $\nu \sim D_N$ 関係 *5 から ν をきめて τ を求めた。見かけの粘度 η_a は

$$\eta_a = \frac{\tau_{ap}}{D_N} \tag{4}$$

となる $(\tau/D_N$ でも見かけの値である)。ポリプロピレン 溶融物の 毛細管流動では $\log P \sim \log Q$ が直線的である

から6)近似的に

$$D_N = k' \tau_{ap}{}^{N_{ap}} \quad \text{stat} \quad D = k \tau^N \tag{5}$$

が成立する。ここで、 N_{ap} 、N は非ニュートン性の程度を表わす パラメーターである。(5) 式が成立する場合には D_N と D の間には

$$D = \left(\frac{3 + N_{ap}}{4}\right) D_N \tag{6}$$

の関係がある5)。真の粘度 η は

$$\eta = \frac{\tau}{D} \tag{7}$$

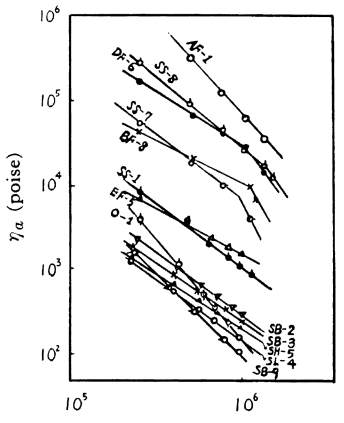
で与えられる。ゼロずり応力粘度 70 を

$$\eta_0 = \lim_{\tau \to 0} \frac{\tau}{D} \tag{8}$$

で定義し、Spencer 法 0 および後述の著者らの方法によって決定した。Barus 効果のパラメーターとしては $\overline{d_{max}}$ は押出物の平均最大直径、 d_{0} はダイの直径 (=2R))をとり、解析には著者らが前報 0 で述べた方法を用いた。また、押出物の表面に乱れが現われるときのずり応力(臨界ずり応力 τ_{c} という)を実験的に決定した。

3. 実験結果

 $\log \eta \sim \log \tau$ の関係を Fig. 2 に示す。 $\log \eta \sim \log \tau$ はほぼ直線関係を与え,前報で指摘したように溶融ポリプロピレンの流動がポリエチレン 10 と同様近似的に(5)式を満足することがわかる。ただし,押出物にラセン状,波状模様が現われるいわゆる臨界ずり応力 τ_c において



Shear stress τ (dyne/cm²)

Fig. 2. Plots of apparant viscosity η_a vs. shear stress τ for polypropylene at 250°C.

^{**} たとえば、試料は N_2 気流中で圧縮成型し、押出装置のピストン内部も N_2 置換した。

^{**} 前報と同一原試料を用いているから許される近似である。 厳密には $\nu \sim D_N$ 関係はポリマータイプ,分子量,分子量分布によって変動するが,これについては別に述べる 7 。

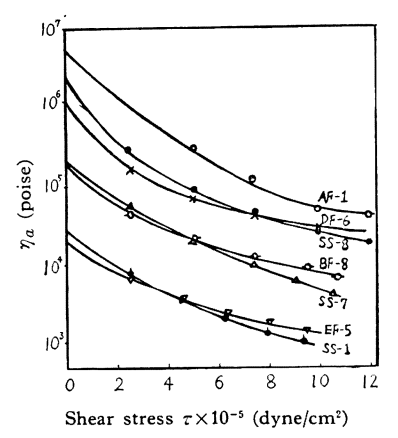


Fig. 3. Plots of $\log \eta_a$ against shear stress τ .

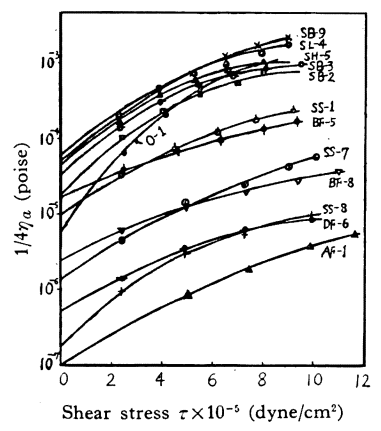
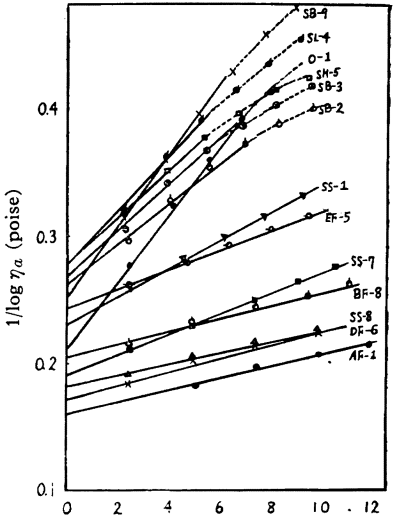


Fig. 4. Plots of $\log(1/4 \eta_a)$ against shear stress τ .

流動曲線に折れ曲りが認められる (Fig. 2, SS-7, SS-8, BF-8, DF-6)。しかし, ラセン状模様が押出物の表面全 体にわたらず、一時期のみに発生するような場合は流動 曲線上の折れ曲りは明りょうではない。 著者らは て。と して押出物に一部分でもラセンまたは波状模様が発生す るときの τ をもって定義した。次に log η~τ の関係の 一部を Fig. 3 に示す。 $\log \eta \sim \tau$ プロットは曲線となり、 これらのプロットの外挿から決定される 7% はかなり誤 差を含む。 γ₀ の決定法としては、この他に Spencer⁸⁾ らが提案した $\log 1/4\eta_a \sim \tau$ の関係を 利用する 方法があ る。そのプロットの結果を Fig. 4 に示す。 ポリプロピ レン溶融物では直線関係を与えない。著者らは溶融ポリ プロピレンでは $1/\log\eta$ (または $1/\log\eta_a$)~ τ プロット がかなりよい直線関係を与え、このプロットの $\tau \rightarrow 0$ へ の外挿値から 70 が決定できることを見出した。各試料 についてのプロットの結果を Fig. 5 に示す。溶融ポリ プロピレンは実験的に次の流動の式に従うことになる。



Shear stress $\tau \times 10^{-5}$ (dyne/cm⁻²)

The plots of the fractions are approximately linear and those of the blends deviate from the linearlity in the range of $\tau \ge 6 \times 10^5$ dyne/cm². η_0 obtained from the plots is the most reliable (c.f., Fig. 3 and Fig. 4).

Fig. 5. Plots of $1/\log \eta_a$ against shear stress τ .

$$\eta_a = \exp\left\{\frac{\ln \eta_0}{1 + a\tau \ln \eta_0}\right\}$$
 (9)*6

ここで a は =ュートン流動からのずれを 表わすある パラメーターである。 a の物理的意味については 4.2 で述べる。 Table 2 に N_{ap} , N, τ_c , η_o などの値をまとめ て示した。

4. 考 察

4.1 粘度-分子量関係

一般に 高分子溶融物および 濃厚溶液の粘度 η と分子 量 M との間にはある限界分子量 M_c 以上では

$$\eta = KM^{8\cdot4\sim8\cdot5} \tag{10}$$

が成立する $^{18),14}$ 試料が分子量分布をもつ場合,上式の M は実験的には M で表現され,

$$\eta = K \bar{M}_w^{8\cdot4\sim8\cdot5} \tag{11}$$

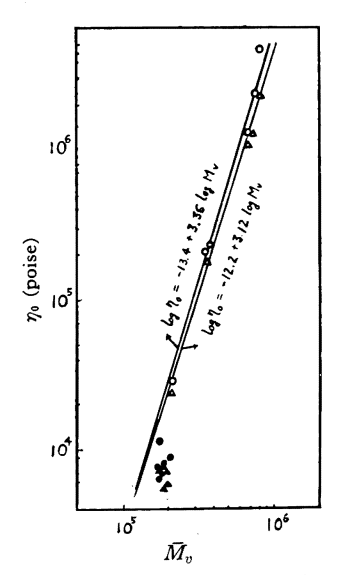
となる $^{15a)}$ 。 2.1.2 で述べたように 粘度平均分子量 M_v $(a=0.80)\simeq M_w (=M_v(a=1.0))$ と近似して、ゼロずり 応力粘度 γ_0 との関係を ${
m Fig.}$ 6 に示す。 分別試料間で

^{** (9)} 式は $\tau \to 0$ で $\eta_a \to \eta_o$ を与え、 $1/\log \eta_a$ 対 τ プロットは直線となり、 $\tau = 0$ の切片値が $1/\log \eta_o$ となることを意味している。

Sample	Non Newtonian parameter		Zero	shear stress (poise)	Critical shear stress $\tau_c \times$	Critical shear	
	N_{ap}	N	from η_a	from $1/4\eta_a$	from $1/\log \eta_a$	10 ⁻⁵ dyne/cm ²	$D_c \times 10^{-1} \cdot \text{sec}^{-1}$
SS-1	2.50	2.52	2.8	2.56	2.33	_	_
SB-2	2.48	2.47	1.25	1.09	0.70	_	
SB-3	2.46	2.43	0.91	0.75	0.56		
SL-4	2.48	2.49	0.73	0.75	0.55	-	
SH-5	2.43	2.33	0.68	0.56	0.70	_	_
SS-6	_	_	_	_			
SS-7	2.77	2.60	21.5	26.5	17.3	10.5	25.4
SS-8	2.85	2.72	135	151	89.6	14.0	11.0
SB-9	2.63	2.98	0.82	0.64	0.63		_
0-1	3.30	2.44	6.7	4.45	3.16		
BF-8	2.54	2.54	24.0	12.8	7.06	9.42	10.3
AF-1	_	_	4.80		213.2	12.3	2.89
DF-6	2.63	2.63	130	52.2	31.6	12.3	8.61

Table 2. Characteristic properties of polypropylene melt with different average and distributions of molecular weight.

は $\log \gamma_0$ と $\log M_0$ との間に直線関係が成立する。 この関係を最小二乗法で求めてみると,



In this case, (\bigcirc) , (\triangle) correspond to the fractions, (\blacksquare) , (\blacktriangle) to the blends.

Fig. 6. Relationships between zero shear stress viscosity η_0 and molecular weight \bar{M}_v , in which η_0 has been calculated from the extrapolated value of the plots to $\tau = 0$ in Fig. 3 (represented as (\bigcirc) , (\blacksquare)) and from that in Fig. 5 $((\triangle)$, (\triangle)), respectively.

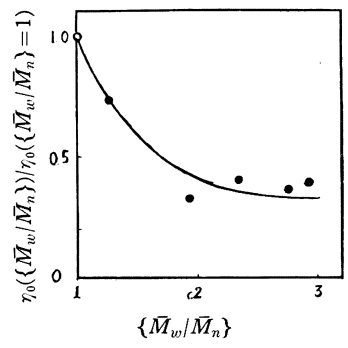
i) $\eta_0=\lim_{\tau\to 0}\log\eta_a$ の場合, $\log\eta_0=-13.4+3.36\log \bar{M}_v \eqno(12)$

ii)
$$\eta_0=\lim_{\tau\to 0}~1/\log\eta_a$$
 の場合,
$$\log\eta_0=-12.2+3.12\log\bar{M}_v \eqno(12)'$$

の関係が得られる。70決定法によって70の分子量依存 性がやや異なるが、分子量分布のほぼ均一な溶融ポリプ ロピレンでは (10) 式が 適用できることがわかる。 ポリ エチレンでは(10)または(11)式が適用できないとの報 告16)もあって、3.4~3.5 の代わりに 4.2 が提案されて いるが, これはすでに Billmeyer が指摘した16)ように, 分子量決定の基礎となる Mark-Houwink 式の信頼性が 低かったためであろうと考えられる。分子量分布のある 場合の $\eta \sim M$ 関係も Fig. 6 に同時に 示した。 分布に 幅がある場合には、1) 非ニュートン性が 大きくなるこ と、2) η_a または $1/\log\eta_a$ の τ 依存性が低ずり応力側 で大きいなどのために 70 の精度はやや低下する。しか し、この点を考慮しても分布の幅が広くなると 70 は同 $-M_v$ をもつ分別物の v_0 より低くなることは確実であ る (Fig. 7 参照)。 no の違いと 1) の理由から分子量分 布の幅が広くなると、同一ずり応力に対する見かけの粘 度は低下する。このことはポリオレフィン系で経験的に 分子量分布の幅が広いほど、加工性がよいといわれてい ることを裏付けている。しかし、Bueche^{15b)} らの理論的 研究によれば、分布の幅が広い場合には(10)式のMと

して M_w よりむしろ M_w と M_z の中間のある値を用いるべきであり, $M_w/M_n>2$ ならば M_z がより適当な近似値であるから,理論的には同一平均分子量の試料でも分布の幅が広いほど,溶融粘度はより大きくなる。これは本論文の実験結果に反する。Rudd¹⁷⁾ によれば,ポリスチレンのゼロずり応力粘度~分子量関係は分布の幅によらず,同一の関係に従う。さらにポリエチレン^{18),19)} で分布の幅の広くなるほど,見かけの粘度またはゼロずり応力粘度が分布の均一の場合より低下して Bueche の予測に反している。

著者らのポリプロピレンの場合に、分布のある試料について η_0 を粘度平均分子量 \bar{M}_v = 2×10^5 に換算して、 η_0 ($\{\bar{M}_w/\bar{M}_n\}$)/ η_0 ($\{\bar{M}_w/\bar{M}_n\}$ =1) と $\{\bar{M}_w/\bar{M}_n\}$ との関係を Fig. 7 に示した。 $\{\bar{M}_w/\bar{M}_n\}$ の増加につれて η_0 ($\{\bar{M}_w/\bar{M}_n\}$) が急激に低下することがわかる*7。 $\{\bar{M}_w/\bar{M}_n\}$

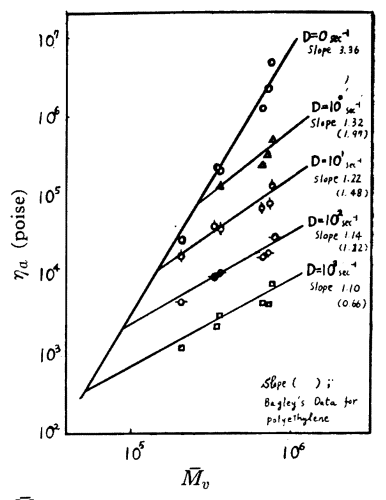


 $\eta_{\rm o}$'s in the plots have been obtained for the sample $\bar{M}_{v}{=}2.0{\times}10^{\rm s}$, by use of Fig. 6.

Parameters of MWD, $\{\overline{M}_w/\overline{M}_v\}$ have been calculated from Fig. 1.

Fig. 7. Dependence of zero shear stress viscosity η_0 on molecular weight distribution (MWD).

 M_n }>2 のとき, η_0 はあまり $\{M_w/M_n\}$ に依存しないようにみえる。分子量分布の広い場合には,低分子量物が一種の可塑剤的役割をして長い(分子量の大きい)分子鎖どうしがからみ合う確率を減らし,結局,同一ずり応力で比較すると分布の広いほど粘度が低下することになるのであろう。 Ballman-Simon²⁰⁾ らによれば,低分子量物,高分子量物のブレンドポリスチレンでは,高ずり速度においてその平均分子量は M_n に,低ずり速度では M_w に近似できるという。この事実もまた低分子量物の disentanglement への寄与があることを意味している。すなわち,ずり速度が大きくなるに従い,有効か



 $\eta_0 - \overline{M}_v$ relationship deviates from 3.4 power law at smaller M_c with increasing D.

Fig. 8. Dependence of zero shear stress viscosity η_0 on shear rate D.

らみ合い数が減少し粘度が低下して M_n に近似しうるようになると解釈できるからである。

分布の均一な試料について,各ずり速度における η_α~ M_v 関係を Fig. 8 に示す。 ずり速度が増加するにした がい、ある分子量 $M_{c'}$ $(M_{c'}>M_c)$ で 3.4 乗則からの ずれが起こる。この現象はすでに他の高分子物質につい ては認められている21,220。 分子量分布の比較的狭い試 料でも、ずり速度が増加すると流動セグメント間のから み合い数が減少して、粘度の分子量依存性が小さくなる ものと考えられる。 分子量依存性は Fig. 8 に直線の勾 配として示した。 線状ポリエチレンに関する Bagley²¹⁾ らのデータも同時に示した。 Bagley らは、溶融粘度の 分子量依存性は ずり速度が 増加 するに 従い, 小さくな り、ある臨界ずり速度以上では分子量に無関係になると 述べている。しかし、Vinogradov²³⁾ らの最近の理論的 研究によればずり速度無限大のとき、溶融粘度は M に 比例する。Fig. 8 で求めた $M_{c'}$ と D との関係を Fig.9 に示す。 $\log D$ と $\log M_{c'}$ との間には 直線関係が成 立し、ずり速度が大きくなるほど、 $M_{c'}$ は小さくなる。 著者らの 実験結果は Vinogradov らの 考えを 支持して いるようにみえる。

4.2 流動の非ニュートン性

溶融ポリプロピレンの非ニュートン性が大きいことは 前報で詳しく述べた。非ニュートン性の程度は (5) 式の 指数 N_{ap} をパラメーターとして表わされるが、著者らは (9) 式の a もまた非ニュートン性のパラメーターであることを見出した。すなわち、a はニュートン性流体では a=0、非ニュートン性流体では a>0 となる。いま、n=1

^{**} ただし,同一 $\bar{M}_n(=2.0 imes10^\circ)$ に対応する η_o を, $\{\bar{M}_w/M_n\}$ に対してプロットすると, η_o は $\{\bar{M}_w/M_n\}$ の増加につれて著しく増大する。したがって, η_o を \bar{M}_n で表現することはできない。むしろ, \bar{M}_w と \bar{M}_n の中間の \bar{M}_w よりの平均値で表わせそうである。

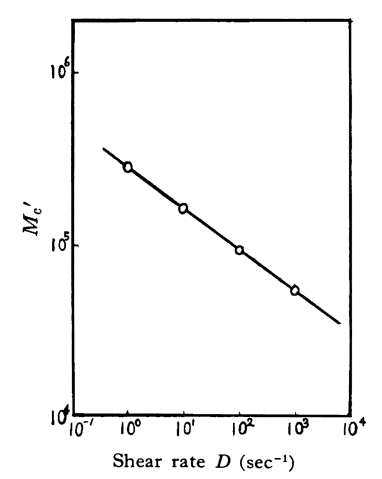
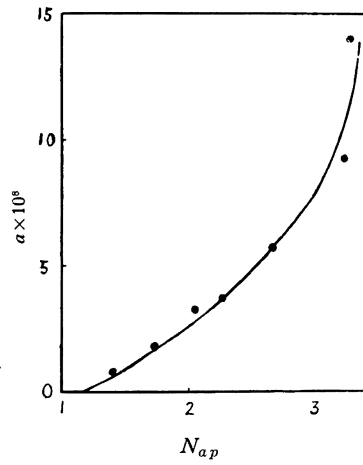


Fig. 9. Relationship between critical molecular weight M_c' , above which η_0 - \bar{M}_v relatioship deviate from 3.4 power law, and shear rate D.

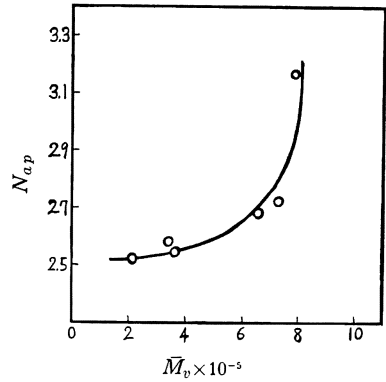


Both a and $N_{a\,p}$ have been calculated from the several presumably assumed relationships between η and τ , which give the same value of η_0 , 10^6 poise.

a seems more sensitive than N_{ap} in certain range.

Fig. 10. Relationship between two non-Newtonian parametera, a and N_{ap} .

 10^8 とおいて N_{ap} を $1\sim3.5$ まで変えて、いくつかの任意の $\eta_a\sim\tau$ 関係を仮定する。この関係を利用して $1/\log\eta_a\sim\tau$ プロットを行ない、その直線の勾配より a を求め、これを N_{ap} に対して プロットした 結果を Fig. 10 に示す。a は N_{ap} とともに大きくなりある領域では a がより敏感に p ポートン性を 反映することがわかる。p の分子量および分子量分布依存性を Fig. p 11、p 12 に示す。p p p 4分子量が大きいほど、また分布の幅



The deviation from Newtonian flow becomes large with increasing \overline{M}_{v} .

Fig. 11. Dependence of apparant non-Newtonian parameter N_{ap} on molecular weight \overline{M}_{v} .

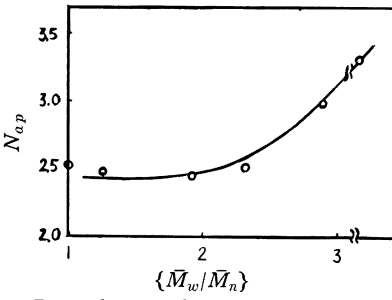
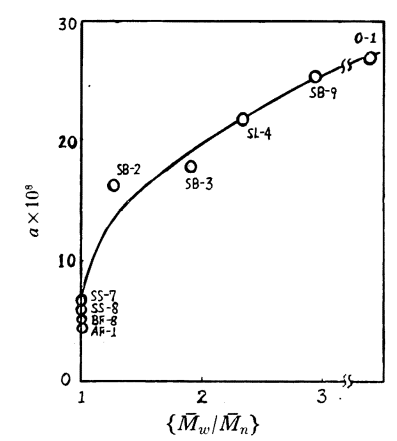


Fig. 12. Dependence of apparant non-Newtonian parameter N_{ap} on molecular weight distribution.



a strongly depends on MWD, but not on molecular weight.

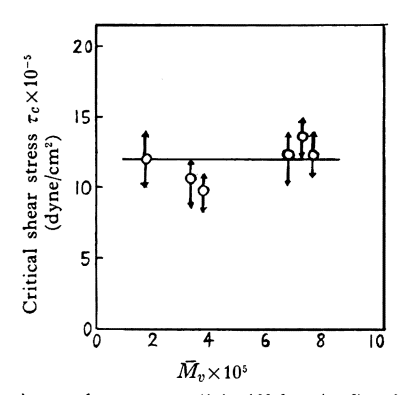
Fig. 13. Dependence of *a* on molecular weight distribution (MWD).

が広くなるほど大きくなる。 一方, a は 分子 量にはほとんど依存しないが, 分子 量分布には大きく依存する

(Fig. 13)。 この場合,分子量分布をもつ試料の $1/\log \eta_a \sim \tau$ プロットはずり応力の大きいところでは直線からずれるが,a はプロットの直線部分の 勾配より求めた。 $\{M_w/M_n\}$ が 1 から 3 になると a は約 5 倍変化するから逆に a の値から 分子量分布の幅が 推定できる可能性がある。

4.3 臨界現象

臨界ずり応力 τ_c と分子量の関係を Fig. 14 に示す。分子量均一の試料では τ_c は分子量に あまり依存せず,ほぼ一定値 $1.0\sim1.4\times10^6$ dyne/cm² となる。 末端補正をしないと臨界ずり応力は一定とはならない。 Spencer-Dillon®, Tordella²4) は臨界ずり速度が一定であると述べている。しかし,それは同一試料を用いた(異なる L/R のダイについて) ためであって,もし異なる試料を用いれば,臨界ずり速度は一定とはならなかったはずである。分子量や分布を変えた試料による著者らの結果では臨界ずり速度は 約 10 倍も変化する。 Spencer-Dillon,Tordella の結果も末端補正を行なえば 臨界ずり応力一定となる可能性がある。



au is nearly constant (1.1×10° dyne/cm²), where the end effect has been taken into account.

Fig. 14. Plots of critical shear stress τ_c against molecular weight \overline{M}_v .

分布のある試料では τ =9.1~9.5×10 5 dyne/cm 2 以下では臨界現象は認められなかった。

臨界現象がなぜ発生するかについてはすでにいくつかの解釈がある。Spencer-Dillon⁸⁾ はダイの半径方向でのずり応力の分布を考慮し、流動方向への分子の配向度が中心で最小、管壁で最大となることから、ダイ流出後の配向回復にも半径方向で差があり、このため押出物にラセン模様が生ずるとした。しかし、ポリプロピレンの場合、配向効果が Barus 効果の一部の原因であるにすぎないことを考えると、この効果だけで臨界現象を引き起こすとは考えにくい。Clegg²⁵⁾ は押出物の表面乱れはダイ入口での不規則な流れに基く一種の弾性記憶現象である

とみている。一般に粘弾性体の記憶現象は緩和を伴らか ら、ダイを長くすると同じずり応力でも弾性回復は小さ くなる。彼は緩和の因子を考慮していない。Tordella²⁴⁾ は臨界ずり応力以上では、ダイ入口で加えられる大変形 によって流線の破断が起こり,不安定,不規則の流れとな りダイ流出後、そのひずみ回復が起こるため押出物の表 面乱れが起こるとした。 彼は流動の状態の転移 (層流か ら乱流へ) が押出物のねじれの 原因ではないといってい るが、単純な Reynold 数の代わりに非ニュートン性流 体の一般化 Reynold 数を用い, さらに 弾性的寄与を考 慮すれば、流動状態の転移がねじれの原因である可能性 がある。Bagley²⁶⁾ はある 臨界ずり応力以上では、ダイ 入口で中心部の流線の一部が溶融物の弾性的性質のため に Snap back または retrack し, その代わりにバレル 周辺部の dead space にある溶融物がダイ中に流入して 流線の破断を起こすとともに、流出後その貯蔵変形エネ ルギーを回復するために乱れが生ずると解釈したバレル 周辺部での 乱流状態の 発生と そのダイへの流入が 流れ の定常性を失わせることは、多くの観察事実と一致する が、貯蔵エネルギーには緩和の項を考慮する必要があろ う。 一定の ずり応力 (臨界ずり応力: τ_c) で臨界現象が 生じることは、ダイ導入部における弾性変形に基く貯蔵 エネルギーが一定値を越えるとき臨界現象が起こると考 えるべきである。

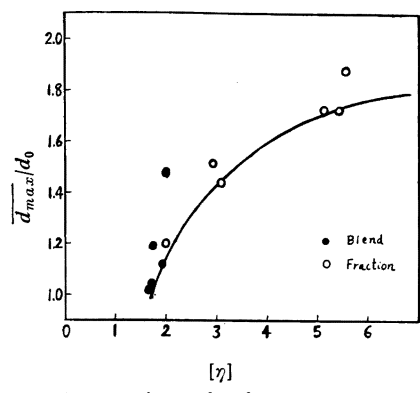
テーパダイで τ_c が大きくなる のは テーパ部分で弾性変形と応力緩和が同時かつ,連続的に起こっているため,全体として同じ変形を受けたとしてもテーパダイのストレート部分の入口の内部応力がはるかに小さくなるためであろう。

4.4 Barus 効果

Barus 効果については前報⁹で詳細に検討し、ダイ導入部における弾性的変形と、配向の二つの効果が寄与していることを明らかにした。Barus 効果のパラメーター $\overline{d_{max}}/d_0$ ($\overline{d_{max}}$: 押出物の平均最大直径、 d_0 (=2R): ダイの直径)は、ずり速度が増大するにつれて増加する。同一ずり速度における各試料の $\overline{d_{max}}/d_0 \sim \overline{M_v}$ の関係を Fig. 15 に示す。 分子量の大きくなるに従い、Barus 効果は大きくなる。分布の影響はあまり明りょうではない。臨界ずり応力 τ_c が一定であるということから、貯蔵エネルギー $(\tau_c)^2/E$ が一定,したがって E は一定でなければならない。ここで E は弾性率である。 前報で導いた理論より

$$\tau = \left(\frac{1}{E}\right) \left\{ \left(\frac{\overline{d_{max}}}{d_0}\right)^2 - \left(\frac{\overline{d_0}}{\overline{d_{max}}}\right)^4 \right\}$$
 (14)

一定の D に対する τ は実験的に求められ $(\overline{d_{max}}/d_0)$ は直接実測できるから、(14) 式の妥当性はただちに検証できる。 一点で実験データと一致するように E の値を



(**)**, the experimental value, corresponding to shear rate $D=10^{\circ} \sec^{-1}$, (——), the theoretical curve calculated from eq. (14), using the value of Young modulus E fitted to experiment at one point ($[\eta]=3.1$).

Fig. 15. Dependence of the parameter of Barus effect, $(\overline{d_{max}}/d_0)$ on intrinsic viscosity $[\eta]$ of decalin solution at 135°C, where $\overline{d_{max}}$, the maximam value of the diameter of the extruded filament, d_0 , the diameter of the die.

Table 3. Evaluation of elastic modulus E.

Sample	SS-1	SS-7	BF-8	SS-8
$M_v \times 10^{-5}$	4.05	7.9	9.3	13.8
$E imes 10^{-5}$ dyne/cm 2	4.17	4.27	4.76	5.50

仮定して Fig. 15 に (14) 式の理論曲線を示した。 (14) 式はかなりよく実験値を説明できる。ただし, (14) 式の誘導には配向効果は無視した。配向の緩和時間 τ_r は M の増加につれて大きくなるから D= 一定で比較すると配向効果は M の増加につれて増加するはずである。したがって広い分子量範囲で (14) 式より E を求めると,配向効果の分子量依存性のために E がわずかながらも見かけ上分子量依存性を示すものと予測される。 (14)式より E を求めた結果を Table 3 に示す。 見かけの E はわずかながら M の増加につれて増加し,前報で述べた著者らの Barus 効果に関する理論が適用できることを示している。

付記: 本研究の実施にあたり,たえずご指導,ご鞭撻をいただいた当研究所次長池田佐喜男博士,当社合繊開発部紡糸研究室長福間昇氏ならびに実験に協力された成川健一,藤井清,星野津ぎ江の諸氏に深く感謝する。なお,本研究の要旨は日本化学会第17年会(1964年4月,東京)で発表した。

文 献

- 1) たとえば、上出健二: 高分子, 11, 49(1962)
- J. B. Kinsinger, R. E. Hughes: J. Phys. Chem.,
 63, 2002 (1959)
- 3) 上出健二: 高化, 21, 152(1964)
- 4) T. Arai: "A Guide to the Testing of Rheological Properties with Koka Flow Tester" (1958) 丸善
- 5) たとえば、J. R. Watzner, J. W. Lyons, K. Y. Kim, R. E. Collins: "Viscosity and Flow Measurement" Chap. 4 (1963) Interscience pub.
- 6) 上出健二,稲本義彦,大野邦夫: 高 化,22,410 (1965)
- 7) 上出健二,稲本義彦,大野邦夫: 高化,投稿予定(本研究,第4報)
- R. S. Spencer, R. E. Dillon: J. Colloid. Sci., 4, 241 (1949)
- 生出健二,稲本義彦,大野邦夫: 高化,22,505, (1965)
- W. Phillipoff, F. H. Gaskins: J. Polymer Sci., 21, 205 (1956)
- 11) 高橋正夫: 高化, 16, 475, 478(1959)
- H. Schott, W. S. Kaghan: J. Appl. Polymer Sci., 5, 175 (1961)
- T. G. Fox, P. J. Flory: J. Am. Chem. Soc., 70, 2384 (1948)
- 14) T. G. Fox, P. J. Flory: J. Phys. Chem., 55, 221 (1951)
- 15a) F. Bueche: J. Chem. Phys., 25, 599(1956)
- 15b) F. Bueche: J. Polymer Sci., 43, 527 (1960)
- H. P. Schreiber, E. B. Bagley: J. Polymer Sci., 58, 29(1962)
- 17) J. F. Rudd: J. Polymer Sci., 44, 459(1960)
- 18) R. J. Martnowitch, P. J. Bocke, R. A. Mccord: SPE. Journal, 16, 1335(1960)
- P. R. Mills, G. E. Moore, D. W. Pugh: SPE. Trans., 1, 40(1961)
- R. L. Ballman, R.H.M. Simon: J. Polymer Sci., A 2, 3557 (1964)
- H. P. Schreiber, E. B. Bagley, D. C. West: Polymer, 4, 355 (1963)
- 22) H. P. Schreiber: *Polymer*, 4, 365 (1963)
- A. Ya Malkins, G. V. Vinogradov: J. Polymer Sci., **B2**, 671 (1964)
- 24a) J. P. Tordella: J. Appl. Phys., 27, 454(1956)
- 24b) J. P. Tordella: Trans. Soc. Rheol., 1, 203(1957)
- P. L. Clegg: The Plastics Institute Transaction, 151 (April, 1958)
- 26) E. B. Bagley: Trans. Soc. Rheol., 5. 355(1961)

Capillary Flow of Polypropylene

III. Influence of Molecular Weight and Molecular Weight Distribution on Flow Behavior

By Kenji Kamide*, Yoshihiko Inamoto* and Kunio Ohno*

Seven fractions of isotactic polypropylene ranging in molecular weight from 1.1×10^5 to 7.7×10^5 and five blends with molecular weight of approximately 1.7×10^5 were used to investigate the melt flow behavior at $250\,^{\circ}\mathrm{C}$ through capillary. A non-newtonian parameter, $N(=d\ln\eta/d\ln D)$ increases with increasing molecular weight and molecular weight distribution (MWD), and another parameter proposed in this paper $a \ (=d\{1/\ln\eta\}/d\ln\tau)$ strongly depends upon MWD. The three methods of determining the zero-shear stress viscosity η_0 were discussed. η_0 from method 1 (plots of $\ln 1/4\eta_a$ vs. τ) and method 2 (plots of $\ln \eta$ vs. τ) were less precise than that from method 3 (linear plots of $1/\ln\eta$ vs. τ) because of the curvature of the former plots. The following equations were obtained between η_0 , and viscosity average molecular weight \overline{M}_v , respectively

 $\log \eta_0 = -13.4 + 3.36 \log \overline{M}_v$ from method 2

and

 $\log \eta_{\rm 0}\!=\!-12.2\!+\!3.12\log \bar{M}_v$ from method 3.

Melt viscosity of blends is usually smaller than that of the fractions having the same \overline{M}_{v} . Irregular shapes of the extruded filaments appear at constant shear stress $\tau_{c} \simeq 1 \times 10^{6} \, \mathrm{dyne}/\mathrm{cm^{2}}$ for the fractions irrespective of \overline{M}_{v} . τ_{c} for the blends is greater than that of the fractions however. Dependence of Barus effect on molecular weight was well explained with the theory proposed in the preceding paper.

^{*} Textile Research Laboratory, Asahi Chemical Ind. Co. Ltd., (118, Ama, Takatsuki, Osaka)